

скорость; δ — прирост величины β , вызванной сопряжением поля температуры и поля деформаций.

Если скорость распространения тепла c_q значительно превышает скорость поперечной волны c_2 , то выражение для δ получаем из (36), положив $\beta_q = 0$.

На рис. 5 представлена зависимость действительной и мнимой частей δ от частоты ω для алюминиевого слоя. Штриховой линией изображены графики зависимости $\operatorname{Re} \delta$ и $\operatorname{Im} \delta$ от ω при $c_q \rightarrow \infty$.

На рис. 6 в логарифмическом масштабе представлена зависимость относительного приращения фазовой скорости $\frac{\Delta c}{c_R} \approx \frac{\delta}{2\beta_R}$ и величины, обратной коэффициенту затухания $\alpha = 2V_{\beta_R}^3 l_1 \beta_0 (c_2 \operatorname{Im} \delta)^{-1}$.

Влияние конечной скорости распространения тепла на величину δ , относительное приращение фазовой скорости и коэффициент, обратный затуханию, как видим из графиков, является значительным при высоких частотах ω .

ЛИТЕРАТУРА

- Новацкий В. Динамические задачи термоупругости. «Мир», М., 1970.
- Коваленко А. Д.— В кн.: Труды VII Всесоюзной конференции по теории оболочек и пластинок. «Наука», М., 1970.
- Подстригач Я. С., Коляно Ю. М. Неустановившиеся температурные поля и напряжения в тонких пластинках. «Наукова думка», К., 1972.
- Семерак Ф. В.— Автореф. канд. дис. Львовский ун-т, Львов, 1973.

Львовский филиал математической
физики Института математики АН УССР

Поступила в редакцию
в декабре 1973 г.

ОСЕСИММЕТРИЧНЫЙ ИНДУКЦИОННЫЙ НАГРЕВ ЦИЛИНДРИЧЕСКОЙ ОБОЛОЧКИ

Я. И. Бурак, Л. В. Чернявская

В работе предложена методика определения джоулева тепла, температурных полей и температурных напряжений в цилиндрической оболочке при глубине проникновения индукционных токов, соизмеримой с толщиной оболочки.

1. Пусть длинная цилиндрическая оболочка радиуса R из неферромагнитного материала, отнесенная к цилиндрической системе координат (γ, φ, z) ($-h \leq \gamma \leq h$, $2h$ — толщина оболочки) (рис. 1), находится под влиянием осесимметричного индукционного нагрева. На внешней поверхности задан вектор напряженности электрического поля $\vec{E} = (0, E, 0)$, где $E(\gamma, z) = E_0 \cos nz$. Принимается, что глубина проникновения индукционных токов соизмерима с толщиной оболочки.

В области оболочки и вне ее при $r < R - h$ отличные от нуля кольцевые составляющие E и $E^{(0)}$ представим в виде [4]

$$E(\gamma, z, \tau) = F(\gamma) e^{-(ky - i\omega\tau)} \cos nz,$$

$$E^{(0)}(r, z, \tau) = E^{(0)}(r) e^{i\omega\tau} \cos nz. \quad (1)$$

Здесь ω — круговая частота, $k = \frac{k_1 + k_2}{2}$ — средняя кривизна оболочки, k_1, k_2 — главные кривизны срединной поверхности оболочки.

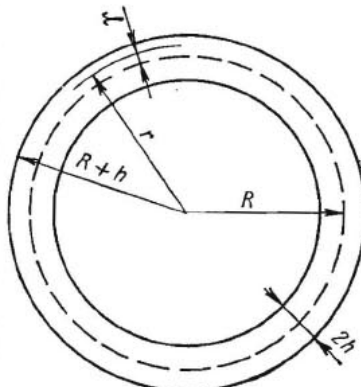


Рис. 1.

Из уравнений Максвелла и условий сопряжения электромагнитного поля при $\gamma = -h$, в пренебрежении токами смещения и величинами $k_1\gamma$ и $k_2\gamma$ по сравнению с единицей, получим следующие соотношения для определения функции $F(\gamma)$:

$$p^2 F + \frac{\partial^2 F}{\partial \gamma^2} = 0 \text{ при } -h \leq \gamma \leq h, \quad (2)$$

$$F = F_0 \text{ при } \gamma = +h,$$

$$\frac{dF}{d\gamma} - \frac{1}{E^{(0)}} \frac{dE^{(0)}}{dr} F = 0 \text{ при } \gamma = -h (r = R - h), \quad (3)$$

где $p^2 = -k^2 - i\omega\mu - n^2$; λ — коэффициент электропроводности.

В условия (3) входит граничное значение напряженности электрического поля $E^{(0)}$ в области $\gamma < -h$. Поэтому система уравнений (2) — (3) должна решаться совместно с уравнением

$$\frac{d^2 E^{(0)}}{dr^2} + \frac{1}{r} \cdot \frac{dE^{(0)}}{dr} + (\epsilon_0\mu_0\omega^2 - n^2) E^{(0)} = 0. \quad (4)$$

Для приближенного определения $E^{(0)}$ примем, что оболочки поставлена в соответствие физическая поверхность с характеристиками материала: $\mu_1 = 2h\mu$ — приведенная магнитная проницаемость, $\lambda_1 = 2h\lambda$ — приведенная электропроводимость, $r_1 = \frac{2h}{\mu}$ — приведенное магнитное сопротивление, $\rho_1 = \frac{2h}{\lambda}$ — приведенное электросопротивление [1]. Тогда задача об определении функции $E^{(0)}$ сводится к решению уравнения (4) при соответствующих граничных условиях на этой поверхности

$$r_1 \rho_1^2 (E_0 + E^{(0)}) + \frac{2}{R\mu} \left(E_0 - R \frac{dE^{(0)}}{dr} + E^{(0)} \right) = 0, \\ \mu_1 r_1 \rho_1^2 (E_0 - E^{(0)}) + \frac{2}{R\mu} \left(E_0 + R \frac{dE^{(0)}}{dr} - E^{(0)} \right) - 12(E_0 - E^{(0)}) = 0. \quad (5)$$

Отсюда находим

$$E^{(0)}(r, z) = E_0 \frac{1 + \frac{4}{3} n^2 h^2 + \frac{2}{3} \frac{i}{\delta_0^2}}{1 - \frac{2}{3} n^2 h^2 - \frac{1}{3} \frac{i}{\delta_0^2}} \cdot \frac{J_1(k_1 r)}{J_1(k_1 R)} \cos nz, \quad (6)$$

где $\delta_0 = \frac{\delta}{2h}$; $\delta = 2^{1/2} (\omega\mu\lambda)^{-1/2}$ — глубина проникновения индукционных токов; $k_1^2 = -n^2 + \epsilon_0\mu_0\omega^2$.

Таким образом, задача об определении функции F сведена к граничной задаче (2) — (3) при найденных из выражения (6) $E^{(0)}$ и $\frac{dE^{(0)}}{dr}$ при $r = R - h$.

Следуя работе [5], запишем решение уравнения (2) в виде

$$F = ph \frac{\cos p\gamma}{\cos ph} F_1 + \frac{1}{3} \frac{p^2 h^2 \sin p\gamma}{(1 - ph \operatorname{ctg} ph) \sin ph} F_2. \quad (7)$$

$$\text{Здесь } F_1 = \frac{1}{2h} \int_{-h}^h F d\gamma, \quad F_2 = \frac{3}{2h^2} \int_{-h}^h F \gamma d\gamma.$$

Интегрируя уравнение (2) и уравнение (2), умноженное на γ , по толщине оболочки с учетом условий (3), получим систему уравнений для определения функций F_1 и F_2

$$p^2 h^2 F_1 + \frac{1}{9} \cdot \frac{p^3 h^3}{1 - ph \operatorname{ctg} ph} \operatorname{ctg} ph F_2 = -\frac{1}{3} h \frac{\partial E^{(0)}(R-h)}{\partial r}, \\ p^2 h^2 F_2 + 3p^2 h^2 \left(1 + \frac{\operatorname{ctg} ph}{ph} \right) F_1 = -3h \frac{\partial E^{(0)}(R-h)}{\partial r} + 3E_0. \quad (8)$$

Если ограничиться первыми членами разложения в ряд операторов при F_1 и F_2 , то из решения системы уравнений (8) на основании (1) получим

$$E(\gamma, z) = E_0 \left[C_1 + \frac{\gamma}{h} C_3 + i \left(C_2 + \frac{\gamma}{h} C_4 \right) \right] \cos nz, \quad (9)$$

где

$$\begin{aligned} C_1 &= \left[1 - 2n^4h^4 + n^8h^8 + \frac{1}{2\delta_0^4}(1+n^4h^4) \right]^{-1} \left\{ \left[1 - nh \left((1-n^2h^2)(1+2n^2h^2 - \right. \right. \right. \\ &\quad \left. \left. \left. - \frac{1}{3\delta_0^4} \right) + \frac{1}{\delta_0^4} \left(1 + \frac{4}{3}n^2h^2 \right) \right) \right] \left(1 - n^4h^4 + \frac{1}{4\delta_0^4} \right) - \frac{nh}{2\delta_0^4} (k^2h^2 + n^2h^2) \times \\ &\quad \times \left[1 + 2n^2h^2 - \frac{1}{3\delta_0^4} - 2 \left(1 + \frac{4}{3}n^2h^2 \right) (1-n^2h^2) \right]; \\ C_2 &= \left[1 - 2n^4h^4 + n^8h^8 + \frac{1}{2\delta_0^4}(1+n^4h^4) \right]^{-1} \delta_0^{-2} \left\{ \frac{nh}{2} \left[1 + 2n^2h^2 - \frac{1}{3\delta_0^4} - \right. \right. \\ &\quad \left. \left. - 2 \left(1 + \frac{4}{3}n^2h^2 \right) (1-n^2h^2) \right] \left(1 - n^4h^4 + \frac{1}{4\delta_0^4} \right) + (n^2h^2 + k^2h^2) \left[1 - \right. \right. \\ &\quad \left. \left. - nh \left(1 + 2n^2h^2 - \frac{1}{3\delta_0^4} - 2 \left(1 + \frac{4}{3}n^2h^2 \right) (1-n^2h^2) \right) + \frac{1}{\delta_0^4} \left(1 + \frac{4}{3}n^2h^2 \right) \right]; \\ C_3 &= \left[1 - 2n^4h^4 + n^8h^8 + \frac{1}{2\delta_0^4}(1+n^4h^4) \right]^{-1} \delta_0^{-2} \left\{ \left[3(n^2h^2 + k^2h^2) + \right. \right. \\ &\quad \left. \left. + nh \left(\left(1 + 2n^2h^2 - \frac{1}{3\delta_0^4} \right) \left(1 + 3n^2h^2 + 2n^4h^4 - \frac{1}{2\delta_0^4} \right) - \frac{3}{2\delta_0^4} \left(1 - \right. \right. \right. \right. \\ &\quad \left. \left. \left. \left. - \frac{16}{9}n^4h^4 \right) \right) \right] \left(1 - n^4h^4 + \frac{1}{4\delta_0^4} \right) - (n^2h^2 + k^2h^2) \frac{1}{2\delta_0^4} \left[3 + \right. \right. \\ &\quad \left. \left. + nh \left(1 + \frac{4}{3}n^2h^2 \right) \left(5 + 12n^2h^2 - \frac{1}{2\delta_0^4} - 4n^4h^4 \right) \right]; \\ C_4 &= \left[1 - 2n^4h^4 + n^8h^8 + \frac{1}{2\delta_0^4}(1+n^4h^4) \right]^{-1} \delta_0^{-2} \left\{ (n^2h^2 + k^2h^2) \times \right. \\ &\quad \times \left[3(n^2h^2 + k^2h^2) + nh \left(\left(1 + 2n^2h^2 - \frac{1}{3\delta_0^4} \right) \left(1 + 3n^2h^2 + 2n^4h^4 - \frac{1}{2\delta_0^4} \right) - \right. \right. \\ &\quad \left. \left. - \frac{3}{2\delta_0^4} \left(1 - \frac{16}{9}n^4h^4 \right) \right) \right] + \frac{1 - n^4h^4 + \frac{1}{4\delta_0^2}}{2} \left[3 + nh \left(1 + \frac{4}{3}n^2h^2 \right) \times \right. \\ &\quad \times \left. \left. \left(5 + 12n^2h^2 + 4n^4h^4 - \frac{2}{\delta_0^4} \right) \right]. \end{aligned}$$

Соответственно выражению (9), усредненная во времени по периоду колебаний электромагнитного поля плотность джоулева тепла будет

$$Q = \frac{\lambda}{2} E_0^2 \left[C_1^2 + C_2^2 + 2 \frac{\gamma}{h} (C_1 C_3 + C_2 C_4) + \frac{\gamma^2}{h^2} (C_3^2 + C_4^2) \right] \cos^2 nz. \quad (10)$$

Если в выражении (10) положить $n = 0$, получим выражение для распределения джоулева тепла в цилиндрической оболочке в случае индукционного нагрева по толщине, т. е.

$$Q = \frac{\lambda}{2} E_0^2 \left[1 - \frac{1}{2\delta_0^4} - 4kh \frac{\gamma}{h} \left(1 - \frac{5}{4\delta_0^4} \right) + \frac{9}{4\delta_0^4} \cdot \frac{\gamma^2}{h^2} \left(1 + \frac{1}{\delta_0^4} \right)^2 \right]. \quad (11)$$

2. Примем, что оболочка находится в условиях конвективного теплообмена с внешней средой, температура которой постоянна и равна начальной температуре оболочки. Определение температурного поля $t(\gamma, z, \tau)$ сводится к решению уравнения теплопроводности

$$p_0^2 t + \frac{\partial^2 t}{\partial \gamma^2} = -\frac{Q}{\kappa} \quad (12)$$

при нулевой начальной температуре и условиях теплообмена на боковых поверхностях

$$\frac{\partial t(\pm h, z, \tau)}{\partial \gamma} \pm (h_0 \mp k) t(\pm h, z, \tau) = 0, \quad (13)$$

где $p_0^2 = -n^2 - k^2 - a^2 \frac{\partial}{\partial \tau}$; a^2 — температуропроводность; κ — коэффициент теплопроводности; h_0 — коэффициент теплоотдачи; τ — время; t — температура, которая отсчитывается от ее начального значения. Исходные соотношения (12), (13) упрощены вследствие малости величин $k_1 \gamma$, $k_2 \gamma$ по сравнению с единицей.

Применяя к выражениям (12), (13) интегральное преобразование Лапласа, с использованием операторного метода [5] получим следующее выражение для трансформанты от температуры:

$$t^* = p_0 h \frac{\cos p_0 \gamma}{\cos p_0 h} \left(T_1^* - \frac{q_1^*}{\kappa s} \right) + \frac{1}{3} \frac{p_0^2 h^2 \sin p_0 \gamma}{(1 - p_0 h \operatorname{ctg} p_0 h) \sin p_0 h} \left(T_2^* - \frac{q_2^*}{\kappa s} \right) + \frac{q^*}{\kappa s}. \quad (14)$$

Здесь

$$\begin{aligned} T_1^* &= \frac{1}{2h} \int_{-h}^h t^* d\gamma, \quad T_2^* = \frac{3}{2h^2} \int_{-h}^h \gamma t^* d\gamma, \\ q^* &= \frac{1}{2p_1} \int_{-h}^h e^{-p_1 |\gamma - \gamma_0|} Q(\gamma_0) d\gamma_0, \quad p_1^2 = a^2 s + k^2 + n^2, \\ q_1^* &= \frac{1}{2h} \int_{-h}^h q^* d\gamma, \quad q_2^* = \frac{3}{2h^2} \int_{-h}^h q^* \gamma d\gamma, \end{aligned}$$

s — параметр преобразования Лапласа. Звездочками обозначены трансформанты Лапласа.

Функции T_1^* , T_2^* определяются из системы уравнений

$$\begin{aligned} p_0^2 h^2 T_1^* - Bi p_0 h \operatorname{ctg} p_0 h \left(T_1^* - \frac{q_1^*}{\kappa s} \right) - \frac{1}{3} kh \frac{p_0^2 h^2}{1 - p_0 h \operatorname{ctg} p_0 h} \left(T_2^* - \frac{q_2^*}{\kappa s} \right) &= \\ = \frac{Bi}{2\kappa s} (q^{*+} + q^{*-}) - \frac{kh}{2\kappa s} (q^{*+} - q^{*-}) - \frac{h}{2\kappa s} Q_1, & \quad (15) \\ p_0^2 h^2 T_2^* - (1 + Bi) \frac{p_0^2 h^2}{1 - p_0 h \operatorname{ctg} p_0 h} \left(T_2^* - \frac{q_2^*}{\kappa s} \right) + & \\ + 3kh p_0 h \operatorname{ctg} p_0 h \left(T_1^* - \frac{q_1^*}{\kappa s} \right) &= 3(1 + Bi) \frac{q^{*+} - q^{*-}}{2\kappa s} - \\ - 3kh \frac{q^{*+} + q^{*-}}{2\kappa s} - \frac{3h}{2\kappa s} Q_2, & \end{aligned}$$

где

$$Q_1 = \int_{-h}^h Q d\gamma, \quad Q_2 = \frac{1}{h} \int_{-h}^h Q \gamma d\gamma, \quad Bi = h_0 h.$$

3. Температурные напряжения, соответствующие данной температуре, определяются с помощью известных соотношений термоупругости тонких

оболочек [2, 4]. Для свободной от силовой нагрузки цилиндрической оболочки температурные напряжения σ_{zz} , $\sigma_{\varphi\varphi}$, $\sigma_{\varphi z}$ определяются по формулам

$$\begin{aligned}\sigma_{zz} &= \frac{E\alpha_t}{1-\nu} \left[T_1 - t + \frac{\gamma}{h} \frac{4a^2c^2}{(1+\nu)(4+c^4)} \frac{h}{R} \left(T_1'' + \frac{a^2c^2}{3(1-\nu^2)} \frac{h}{R} T_2'' \right) \cos cx \right], \\ \sigma_{\varphi\varphi} &= \frac{E\alpha_t}{1-\nu} \left[T_1 - t - (1-\nu) T_1'' + \frac{4(1-\nu)}{4+c^4} \left(T_1'' + \frac{a^2c^2}{3(1-\nu^2)} \cdot \frac{h}{R} T_2'' \right) \times \right. \\ &\quad \times \left. \left(1 + \frac{\gamma}{h} \frac{\nu a^2 c^2}{1-\nu^2} \cdot \frac{h}{R} \right) \cos cx \right], \\ \sigma_{\varphi z} &= 0, \quad x = \frac{az}{R}, \quad a^4 = \frac{3(1-\nu^2)R^2}{4h^2}, \quad c = \frac{2nR}{a}, \quad T_t = T_t' + T_t'' \cos cx.\end{aligned}\quad (16)$$

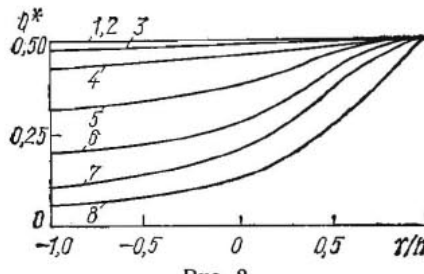


Рис. 2.

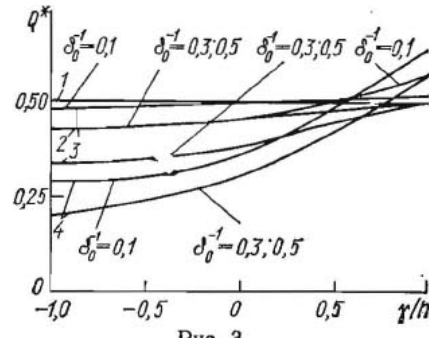


Рис. 3.

В случае плоской задачи ($c = 0$) имеем

$$\sigma_{zz} = \sigma_{\varphi\varphi} = \frac{\alpha_t E}{1-\nu} (T_1 - t), \quad \sigma_{\varphi z} = 0, \quad \sigma = \sigma^* \frac{\alpha_t E_0^2 E \lambda h^2}{(1-\nu)\kappa},$$

где α_t — линейный коэффициент температурного расширения; E — модуль упругости; ν — коэффициент Пуассона.

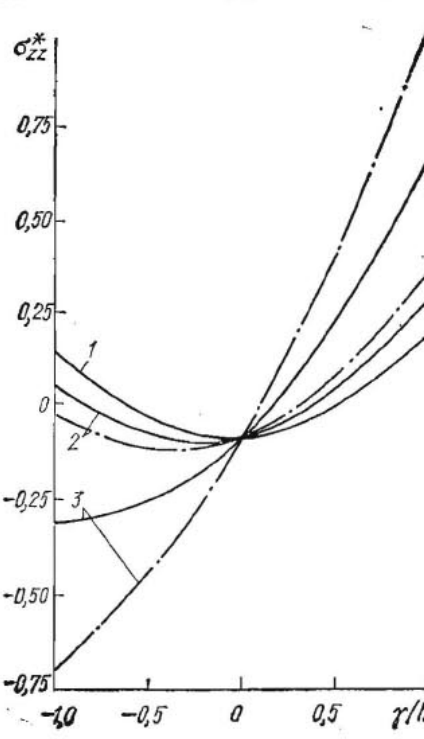


Рис. 4.

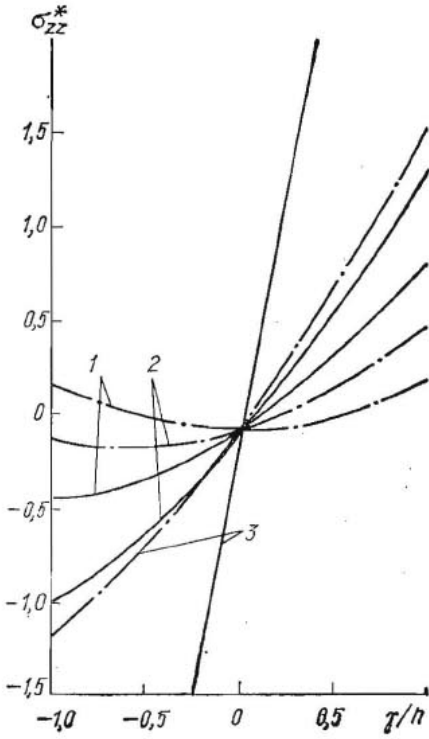


Рис. 5.

Численные расчеты распределения джоулем тепла проводились для цилиндрической оболочки с $\frac{h}{R} = \frac{1}{40}$ в зависимости от параметра $\delta_0 = \frac{\delta}{2h}$, характеризующего относительную глубину проникновения электрического поля, и параметра $nh = 2lk\pi h$ ($l = 1, 2, \dots$), характеризующего периодическое изменение электрического поля вдоль оси z . На рис. 2 представлены результаты численных расчетов $Q^* = Q/\lambda E_0^2$ при $\delta_0^{-1} = 0,1; 0,3; 0,5$ для точного решения (7), на рис. 3 — для приближенного решения задачи (кривые 1—8 на рис. 2 получены при $nh = 0; 0,039; 0,078; 0,157, 0,314, 0,471; 0,628; 0,785$, а кривые 1—4 на рис. 3 — при $nh = 0; 0,039; 0,078; 0,157$ соответственно).

Из результатов, приведенных на рис. 2, видно, что для параметра $0 \leq nh \leq 0,157$ распределение джоулем тепла по толщине оболочки близко к равномерному. Для $nh > 0,157$ существенно увеличивается градиентность распределения джоулем тепла по толщине оболочки.

Из сравнения результатов, приведенных на рис. 3, видно, что для параметра $nh \leq 0,078$ имеется удовлетворительное согласование распределения джоулем тепла, найденного на основании точного и приближенного решений.

Распределение осевых напряжений $5\sigma_{zz}$ по толщине оболочки представлено на рис. 4, 5. Вычисления проводились для значений времени $\tau = 1$ (рис. 4); 10 (рис. 5); ∞ ; $\delta_0^{-1} = 0,1; nh = 0; 0,039; 0,078$ (кривые 1—3). Сплошными линиями представлены результаты для $Bi = 0$, штрихпунктирными — для $Bi = 1$. Случай $\tau = \infty$ соответствует установившемуся режиму. Характер распределения осевых напряжений σ_{zz} по толщине оболочки аналогичен характеру распределения напряжений σ_{zz} . Из приведенных графиков видно, что в установившемся режиме уровни температурных напряжений выше уровней напряжений в начальный период нагрева.

ЛИТЕРАТУРА

- Бурак Я. И., Чернявская Л. В.— В кн.: Теоретическая электротехника, 6. Изд-во Львовского ун-та, Львов, 1969.
- Коваленко А. Д. Основы термоупругости. «Наукова думка», К., 1970.
- Ландау Л. Д., Лифшиц Е. М. Электродинамика сплошных сред. Физматгиз, М., 1959.
- Підстригач Я. С., Ярема С. Я. Температурні напруження в оболонках. Вид-во АН УРСР, К., 1961.
- Подстригач Я. С.— В кн.: Тепловые напряжения в элементах конструкций, 5. «Наукова думка», К., 1965.
- Подстригач Я. С.— ИФЖ, 1963, 10.
- Чернявская Л. В.— ФХММ, 1973, 3.

Львовский филиал математической
физики Института математики АН УССР

Поступила в редакцию
в октябре 1973 г.

О ВЛИЯНИИ ПЕРИОДИЧЕСКОГО ВО ВРЕМЕНИ ИЗМЕНЕНИЯ ДЖОУЛЕВА ТЕПЛА И ПОНДЕРОМОТОРНЫХ СИЛ НА ТЕМПЕРАТУРУ И НАПРЯЖЕНИЯ В ЭЛЕКТРОПРОВОДНЫХ ТЕЛАХ

А. Р. Гачкевич

В данной работе предложена математическая постановка задачи определения температурных полей и напряжений в электропроводных упругих телах, находящихся в периодических во времени электромагнитных полях. В исходных соотношениях учитывается периодический характер изменения во времени джоулем тепла и пондеромоторных сил, а также связанные с ними деформации и температуры.